

(株)電力中央研究所 正員 白砂 孝夫

1. 緒言

与えられた河床条件、水理条件のもとにどのような河床波が形成されるかという問題は移動床水理の基本課題の一つである。河床波の形成機構に関する従来の解析的研究は、河床面に与えられた微少な起伏の安定、不安定性を流れの運動方程式、流砂量式、河床変動式を用いて模擬しようとすもののが主で、与えられた波長の微少起伏が存在し得る水理条件の範囲を与えるのにかなりの成果が費されている。しかし、この方法では微少起伏が河床面上に与えられたものとして取扱われてあり、それが水流の如きのような作用によって生じたかは説明されにくく、以下が述べて、水理条件を与えて初期起伏が一義的に決定されない。上述の成績を補完するには、初期起伏の発生機構の解説が必要と思われる。平坦河床に初期起伏が発生するには、流れの何らかの作用により河床の流れ方向の流砂量が変動し、堆積、沈積が生じる必要がある。この要因には種々考えられるが、流れの乱れ速度がその主なものと考えられる。本報告はこの観点から、二次元水路における河床の初期起伏の発生と流れの乱れ速度との関係を検討したものである。

2. 流砂量変動と河床高変動

流れ方向に流砂量が増大しているところでは沈積が、減少しているところでは堆積が生じ、この結果河床高は変動する。この関係を表わす河床変動式はつきのように表わされてる。

$$\frac{\partial f(x, \delta)}{\partial \delta} + \frac{\partial f(x, \delta)}{\partial x} = 0 \quad (1)$$

ここで、 $f(x, \delta)$ 、 $\dot{f}(x, \delta)$ はそれぞれ、点 x 、時刻 δ における河床高および流砂量である。

点 x における時間の河床高変動 $\eta(x, t)$ は(1)式で時間で積分してつきのように得られる。

$$\eta(x, t) = - \int_0^t \frac{\partial f(x, \delta)}{\partial x} d\delta = - \int_0^t \frac{\partial f'(x, \delta)}{\partial x} d\delta \quad (2)$$

ここで、 $f'(x, \delta)$ は $f(x, \delta)$ の平均流砂量からの変動である。初期河床が平坦の場合、 $\eta(x, t)$ は才時間後の平均河床面からの河床高である。同様に、点 $(x+3)$ における才時間の河床高変動 $\eta(x+3, t)$ は

$$\eta(x+3, t) = - \int_0^t \frac{\partial f'(x+3, \delta)}{\partial x} d\delta \quad (3)$$

河床高変動の流れ方向の空間複数を知るために(2)、(3)両式を用いて空間上才時間の河床高変動の空間相関関数 $R_\eta(\delta, t)$ を求めればつきのように得られる。

$$\begin{aligned} R_\eta(\delta, t) &= \lim_{L \rightarrow \infty} \frac{1}{L} \int_{-\frac{L}{2}}^{\frac{L}{2}} \eta(x, t) \eta(x+3, t) dx = \lim_{L \rightarrow \infty} \frac{1}{L} \int_{-\frac{L}{2}}^{\frac{L}{2}} dx \int_0^t \frac{\partial f'(x, \delta)}{\partial x} d\delta \int_0^t \frac{\partial f'(x+3, \delta)}{\partial x} d\delta \\ &= - \int_0^t x \delta \int_0^t \frac{d^2 R_f(\delta, \delta-x)}{dx^2} d\delta \end{aligned} \quad (4)$$

ここで、 $R_g(\delta, \delta-\gamma)$ は流砂量変動の時空間相関関数であり、 γ は流れ方向のずれ距離、 $(\delta-\gamma)$ は時間のずれを表すことを示す。用式は才時固の河床高変動の空間相関関数と流れ方向の流砂量の変動の空間相関関数との関係を表す式であるが、これによれば、河床高変動の点と流れ方向の空間相間と流砂量変動の空間相間との関係が得られ、河床高変動が流れ方向の空間相間をもつためには、点と流れ方向の流砂量変動が時空間相間を持ち、この空間上階級性が存在する必要があることを示す。

3. 河床高変動と流れ速度

さて、一様水深でかつ平坦な河床上、流れにおいて、どのように流れ方向の流砂量に変動を与える流れの作用力の主なものは流れの乱れ速度であろう。これでは流れの乱れ速度と河床高変動との関係はどうなるかを知るには流れと流砂量との間の関係がわからなければならぬが、今のところこれらとの間の関係は明確ではない。ここでは、流速と流砂量の関係をつぎのように近似して検討する。

点 x 、時刻 δ における流れ方向の見かけの体積流砂量 $g(x, \delta)$ は河床近傍の流れ方向の流速 $u(x, \delta)$ の S 時間平均の n 乗に比例するものと仮定する。すると、

$$g(x, \delta) = \bar{g} + g'(x, \delta) = m \left\{ \int_{\delta-S/2}^{\delta+S/2} u(x, \alpha) d\alpha \right\}^n = m \left[\bar{u} + \frac{1}{S} \int_{\delta-S/2}^{\delta+S/2} u'(\alpha, \delta) d\alpha \right]^n \quad (5)$$

ここで、 m は比例常数、 \bar{u} は平均量、 $u'(\alpha, \delta)$ はそれよりの量の平均量 \bar{u}' 、 \bar{g} は g の変動量を表すことを示す。また、流速の S 時間平均とすれば、砂粒子の運動が流速に完全に追隨するだけではなく、その前後の平均的なものとの関係があるのではないかと考えたためであり、 $S \rightarrow 0$ とすれば砂粒子の運動が流速に完全に追隨することを意味する。さて、(5) 式の n は一般に 4 程度と考えられ、流れの乱れ速度 u' は平均流速 \bar{u} に比べて小であるので、(5) 式の u' の $n+2$ 項は小であると無視すれば流砂量変動 $g'(x, \delta)$ は近似的に乱れ速度と一次的な関係とつぎのように表すことができる。

$$g'(x, \delta) = \frac{m \bar{u}^{n-1}}{S} \int_{\delta-S/2}^{\delta+S/2} u'(\alpha, \delta) d\alpha \quad (6)$$

(6) 式を (5) 式代入すれば、点 x における大時間の乱れ速度による河床高変動は

$$\eta(x, t) = - \frac{m \bar{u}^{n-1}}{S} \int_0^t d\delta \int_{\delta-S/2}^{\delta+S/2} \frac{\partial u'(\alpha, \delta)}{\partial x} d\alpha \quad (7)$$

と得られる。同様に点 $(x+\gamma)$ における河床高変動はつぎのように示す。

$$\eta(x+\gamma, t) = - \frac{m \bar{u}^{n-1}}{S} \int_0^t d\delta \int_{\gamma-S/2}^{\gamma+S/2} \frac{\partial u'(\alpha+\gamma, \delta)}{\partial x} d\alpha \quad (8)$$

(7), (8) 式より、大時間の河床高変動の空間相関関数 $R_\eta(\gamma)$ はつぎのようになれる。

$$\begin{aligned} R_\eta(\gamma) &= \lim_{S \rightarrow 0} \frac{1}{S} \int_{\gamma-S/2}^{\gamma+S/2} \eta(x, t) \eta(x+\gamma, t) d\delta = \frac{m^2 \bar{u}^{2n-2}}{S^2} \lim_{S \rightarrow 0} \frac{1}{S} \int_{\gamma-S/2}^{\gamma+S/2} d\delta \int_{\delta-S/2}^{\delta+S/2} d\alpha \int_0^t d\delta \int_{\gamma-S/2}^{\gamma+S/2} d\alpha \int_0^t d\delta \int_{\gamma-S/2}^{\gamma+S/2} \frac{\partial u'(\alpha+\gamma, \delta)}{\partial x} d\alpha \\ &= - \frac{m^2 \bar{u}^{2n-2}}{S^2} \int_0^t d\delta \int_{\gamma-S/2}^{\gamma+S/2} d\alpha \int_{\gamma-S/2}^{\gamma+S/2} \frac{d^2 R_u(\gamma, \alpha-\delta)}{d\gamma^2} d\alpha \quad (S \neq 0) \end{aligned} \quad (9)$$

$$= -m^2 \bar{u}^{2m-2} \int_0^t d\tau \int_0^t \frac{d^2 R_u(\xi, \delta-\tau)}{d\xi^2} d\tau \quad (S=0) \quad (10)$$

(10)と(4)を比べると η' と u' は同じ相位関係であるが、これは(4)式によると η' と u' は一次的関係に近似しているのである。したがって(10)式より河床高変動が流水才向と空間的規模を持つことは、流れ方向、乱れ速度が時空間相関を持ち、その空間2階微分が存在する必要があることを示していふ。

つぎに、乱れ速度の空間規模と乱れ速度の作用によって生じた河床高変動、分散と空間規模とのよき関係にあるかを調べてみる。

まず、乱れ速度 u' は無く、つまり η の波速が U 、波長が $2\pi/k$ 、位相がその余弦波で表わされた周期的な変動速度を考える。

$$u'(x, t) = a \cos k(x - Ut + \varepsilon) \quad (11), \quad u'(\xi, \rho) = a \cos k(\xi + \delta - U\rho + \varepsilon) \quad (12)$$

(11)式を用いて $S \rightarrow 0$ の場合の $\eta(x, t)$ を(7)式により、(11), (12)式を用いて変動速度の時空間相関 $R_u(\xi, \delta - \rho)$ および $S \rightarrow 0$ の場合の $R_q(\xi)$ まで(10)式より求めるとこれを“めつき”のようになら。

$$\eta(x, t) = -(m\bar{u}^{m-1}/k\bar{u}) \{ \cos k(x - Ut + \varepsilon) - \cos k(x + \varepsilon) \} \quad (13)$$

$$R_u(\xi, \delta - \rho) = \frac{1}{2} a^2 \cos k(\xi - U(\delta - \rho)) \quad (14)$$

$$R_q(\xi) = 2m^2 a^2 \bar{u}^{2m-4} \sin^2 \frac{k\bar{u}t}{2} \cos k\xi \quad (15)$$

(14)式より、流速変動の波長は $2\pi/k$ 、(15)式より大時刻の河床高変動の波長は $m^2 k \bar{u} t / 2$ が 0 ではない限りやはり $2\pi/k$ であり、流速変動と河床高変動の波長は一致する。しかし、 $R_q(\xi)$ は、 $\sin^2 k \bar{u} t / 2$ が係数としてかかるので、これは $\delta = 2\pi/k \bar{u} t$ にて周期的に 0 と 1 の値を変動する。したがって(15)式より $\delta = 0$ とおりの場合の河床高変動の分散も周期的に変動し、周期的に平坦河床が生じることを示していふ。(13)式より波高 $\eta(x, t)$ はあくまでも時刻的には流れ才向と周期的に変動し、あくまでもとうかくは時刻的に周期運動しているが、その運動はもはや卓識な運動量転換ではなくなり、(11)式。

つぎに乱れ速度の場合について考究する。この場合、乱れ速度の時空間相関係数 $R_u(\xi, \delta - \rho)$ として乱流中の eddy が大きさ eddy から小さな eddy にエネルギーを与えながら平均流速 $/ \lambda$ (前述の U に相当) にて、又流速 λ にて一般に観測されるべきの形を假定する。

$$R_u(\xi, \delta - \rho) = \exp(-\frac{\xi^2}{\lambda^2}) \exp\left[-\frac{(\delta - \rho)^2}{\lambda_*^2}\right] \quad (16)$$

(16)式よりテイラー・カルマン相関係数 $R_T(\xi)$ およびオイラー相関係数 $R_E(\tau)$ はそれぞれ

$$R_T(\xi) = \exp\left(-\frac{\lambda_*^2 + \alpha^2 \xi^2}{\lambda_*^2 + \alpha^2 \xi_*^2} \xi^2\right) \quad (17) \quad R_E(\tau) = \exp\left(-\frac{\tau}{\lambda_*}\right)^2 \quad (18)$$

上表わせ、乱れ速度の spatial integral scale λ および integral time scale τ と λ_* との関係はつぎのようにある。

$$\lambda = \int_0^\infty R_T(\xi) d\xi = \frac{1}{2} \sqrt{\frac{\lambda_*^2 + \alpha^2 \xi_*^2}{\lambda_*^2 + \alpha^2 \xi_*^2}} \pi \quad (19) \quad \lambda = \int_0^\infty R_E(\tau) d\tau = \frac{1}{2} \sqrt{\pi} \lambda_* \quad (20)$$

(16)式を(7)式に代入し解所すと始めてここ、平均化時間 S の影響を考究する。図-1 は平均化時間

S が大時間の河床高変動の分散
 $R_y(0)$ および相関係数に及ぼす影響を調べてものであります。すなはち $al = l/t_*$ すなはち移流速度 $\bar{a} = l/t_*$ の場合である。分散については横軸に S を縦軸に各 S の分散と $S=0$ の場合の分散の比を示してある。これによれば S が大きくなるにつれて分散は小さく表われますが経過時間が大きくなるにつれてその影響はうすれこむことがわかる。

これは S が一種のフィルター効果であり、高周波の乱れ速度を遮断する効果があるため、経過時間が大きくなると高周波の乱れ速度の成分が河床変動全般に至め分割が少なくて済む意味になります。このことは、相関係数をフリードも言えることから、平均化時間 S の影響は経過時間がある程度大きくなれば本質的なものではなくなると思われる。以下、論議は砂粒子の運動が完全に追従する $S=0$ の場合について行なうことにする。

図-2 は乱れ速度による河床高変動の分散の時間変化を示したもので、 $t_*=15t_*$ における分散が $1/1.33$ ようとしてある。これによれば、乱れ速度によって平坦な河床に生じる起伏の時間とともに増大していくことが示されています。

乱れ速度の空間規模と河床の起伏の空間規模があるような対応関係にあるのかを相関係数によって示すのが図-3 である。これは $al=2.0t_*$ の場合のものが図示されますが、 $al=0$ 、 $al=0.5t_*$ 、 $al=1.0t_*$ 各場合についても、河床の起伏の平均波長と乱れ速度の空間規模との関係を調べて表したもののが表-1 である。これらによれば、乱れ速度によって生じる河床の起伏の平均波長は $al=0$ の場合を除き時間とともに長くなり、いずれの場合も乱れ速度の spatial integral scale より大きいことがわかる。

以上、流れの乱れ速度の作用によって平坦な河床に起伏が発生する可能性が論理的に示されたものと考えられる。しかし、この初期起伏がどうふうにこの安定な河床波へと生長するかは未解明である。初期起伏の発生の実験的検証を含めて今後の課題としたい。

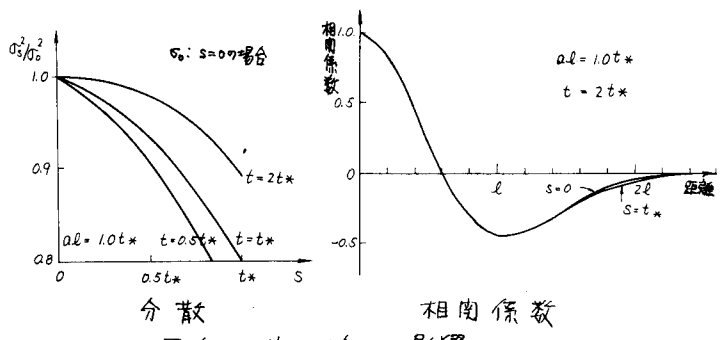


図-1 平均化時間 S の及ぼす影響

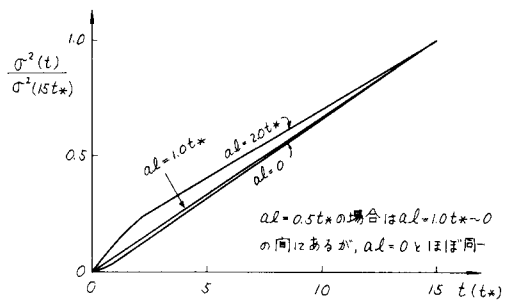


図-2 河床高変動の分散の時間変化 ($S=0$)

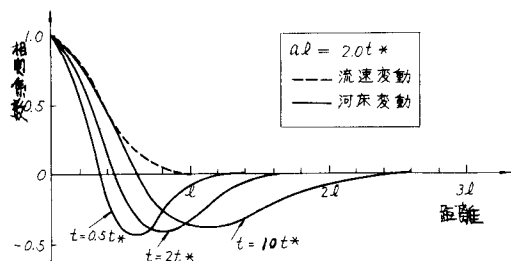


図-3 相関係数の時間変化

| al | 0 | $0.5t_*$ | $1.0t_*$ | $2.0t_*$ |
|----------------------------------|-------|----------|----------|----------|
| 乱れ速度の spatial integral scale L | 0.89l | 0.80l | 0.62l | 0.39l |
| 河床起伏の平均波長 $t=0.5t_*$ | 2.46l | 2.20l | 1.80l | 1.20l |
| $t=2t_*$ | 2.46l | 2.40l | 2.20l | 1.56l |
| L | 2.46l | 2.46l | 2.40l | 2.20l |

表-1 乱れ速度の入と河床起伏の平均波長 L